

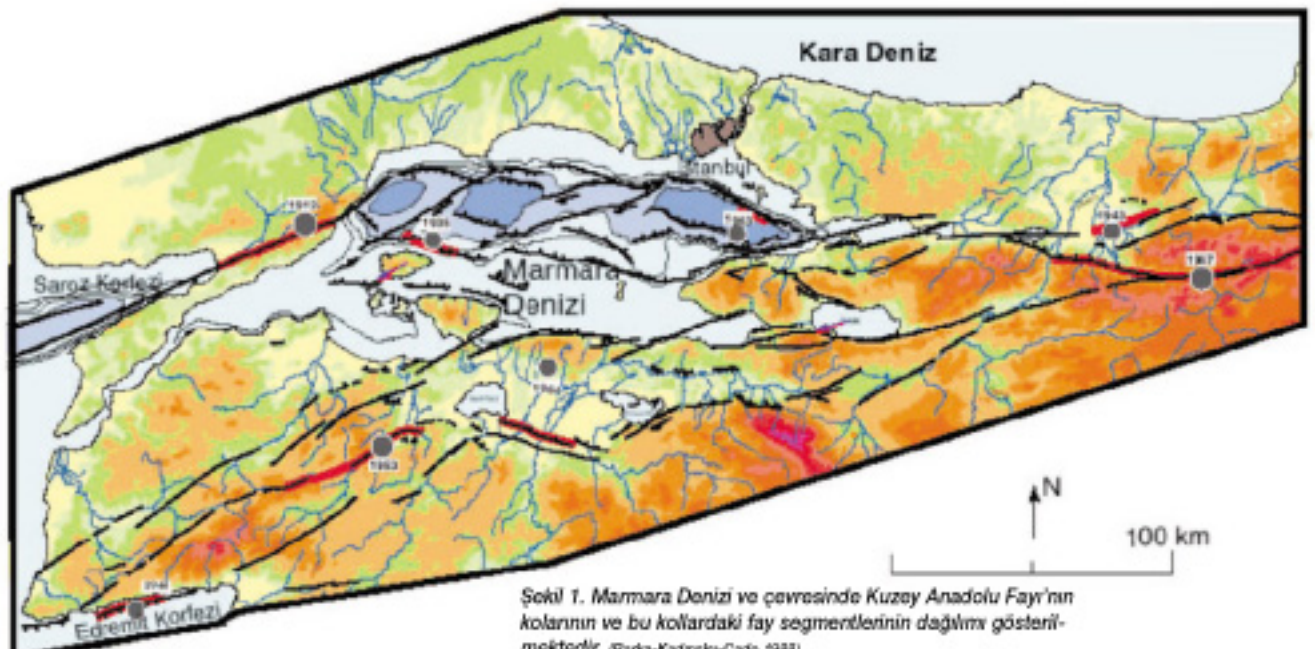
Marmara Denizi'nin Deprem Mekanizması

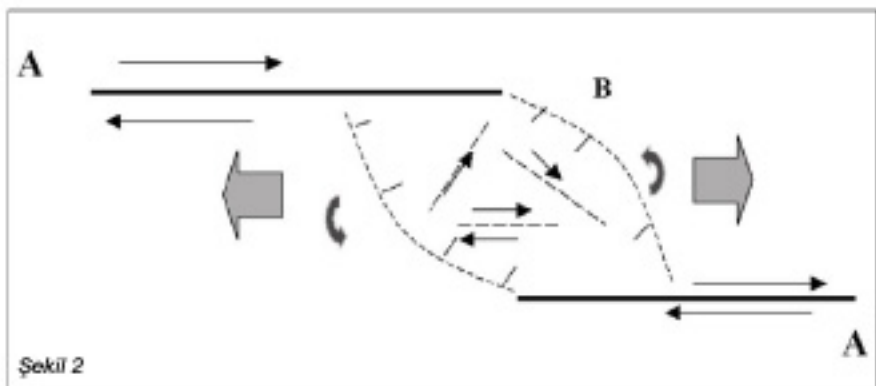
17 Ağustos 1999 İzmit depremi sonrasında Marmara Denizi içinde Kuzey Anadolu Fayının ne gibi bir geometrisi olduğu ve kinematiği hakkında farklı görüşler ortaya atılmıştır. Bu görüşlerden biri olan ve 1988 yılında Barka ve Kadinsky-Cade (1988) tarafından batimetri (derinlik), deniziçi sismik profillerin analiz ve çevre fayların geometrilerine dayanarak ortaya konulan pull-apart modeli bazıları tarafından eleştirilmiş, ancak yine de eleştiren kişiler tarafından herhangi bir elle tutulur model ortaya konulmamıştır. Bu makalede, Marmara Denizi içindeki ve yakınındaki fayların geometrisi ve kinematiği iki boyutlu sınırlı elemanlar metodu ile modellenmiştir. Bu modelleme sırasında Marmara Denizi içindeki çukurlukların hangi faylara uygun olarak geliştiği veya başka bir deyişle bu morfolojiyi hangi doğrultuda ve uzunluktaki fayların oluşturabileceği irdelenmiştir.

MARMARA Denizi'nin kuzey yanında yer alan yaklaşık 1200 m derinlikteki üç çukurluk, Kuzey Anadolu Fayının kuzey kolunun İzmit körfezi ve Gazıköy-Gelibolu segmentleri (fay parçaları) arasında bütünlük bir pull-apart yapının parçaları olarak açılmaktadır (Barka ve Kadinsky-Cade, 1988). Bu çukurluklar birbirlerinden iki KD-GB uzanımlı sırtla ayrılmaktadır. Bunlar Orta Marmara sırtı ve Batı Marmara sırtı ola-

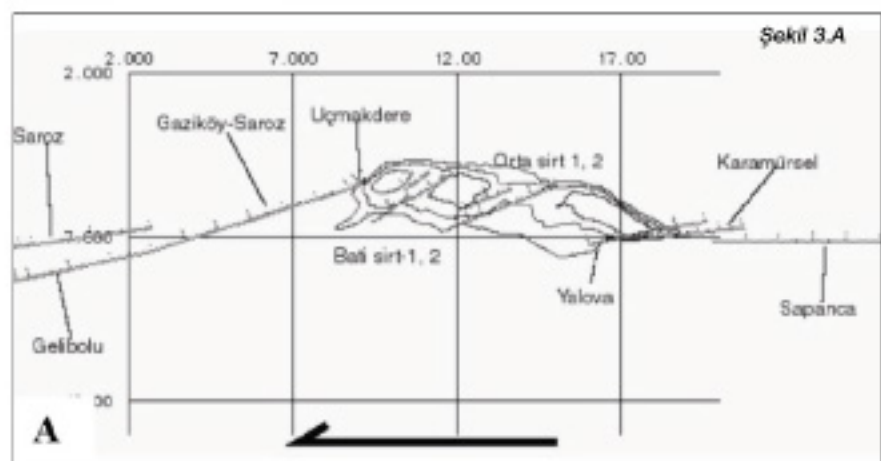
rak adlandırılmıştır. Bu sırtların derinlikleri 450-700 m arasında değişmektedir. Her ne kadar Marmara Denizi içinde son 30 yıldır birçok farklı petrol şirketi ve araştırma kuruluşu tarafından sismik profiller yapılmış ise de bu sırtların kinematiği ve bu açılma içindeki önemleri iyi anlaşılmamıştır. Bunun iç nedeni vardır; bunlardan birincisi sismik profillerin hepsinin Marmara Denizi içindeki yapıları göz önüne alınmadan D-B ve K-G yapılmış olması, yani profillerin yapıları dik ve paralel kes-

memesi, ikincisi de detay batimetrik veri (1-2 m bazında) olmaması ve üçüncü ise elde bir model olmadan sismik profillerin değerlendirilmesidir. Bu çalışmada, bu sırtların kinematiğinin ve Marmara Denizi'nin oluşumunun anlaşılması için, Kuzey Anadolu Fayının kuzey kolunun İzmit körfezi ve Gelibolu arasında kalan segmentleri sınırlı eleman (boundary element) metodu ile modellenmiştir. Bu modelleme sırasında GPS verilerinden yararlanılmıştır (Straub ve Kahle, 1995).





Şekil 2



Şekil 3.A

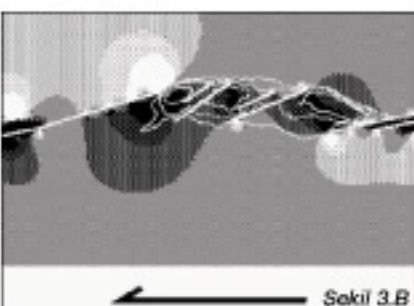
Pull-apart Basenlerin Kinematiği

Doğrultu atımlı faylar üzerinde sıkça görülen pull-apart (iki doğrultu atımlı fay parçası arasında, normal faylarla çökken alan) basenler (çukurluk), son 30 yıldır üzerinde çok çalışılan konulardan biridir. Bu çalışmalar da bu yapıların iç kinematik özellikleri, sedimentasyonları, büyüklük/atom ve derinlikleri hakkında önemli sonuçlar elde edilmiştir. Şekil 2'de bir sağ-yanal pull-apart alanda beklenen

yapılar ve ilgili rotasyonun yönü gösterilmektedir. Bu şekele anlaşılmakta gibi bu alanda ana faylara paralel ikincil genişleme meydana gelmekte olup aynı anda ana faylara paralel faylar, ikincil konjugat (çapraz) doğrultu atımlı faylar ve ana faylara dik veya yitksek açılı normal faylar meydana gelmektedir. Ana fayların oluşturduğu basamağın; üç uca birleşen veya üçün birbirinden aynı veya üçün birbiri ile örtülen türde olması bu alanda meydana gelen fayların ana yapı içindeki açılarının değişmesine neden olmaktadır. Bununla beraber yapılar genelde birbirine benzerdir. Bunun ya-

Şekil 2. Bir pull-apart yapı içinde gelişebilecek faylar ve ilgili yönleri gösterilmektedir. Büyük oklar gerime doğrultularını siyah oklar saatin tersine döme hareketini göstermektedir.

Şekil 3. A. Kuzey Anadolu Fay'ın kuzey kıyılarının Izmit körfezi ile Saroz körfezi arasında kalan kısmının, sınırlı elemanlarla modellemesi sonucu gerçek deniz içi ve kara morfolojik yapısına en uygun fay modeli gösterilmektedir. B. Bu fay modeline gösterilen vektör yönünde bir yer değiştirme uygulanmış takdirde elde edilen alanlar (siyah kırıntılar) ve yükselen (beyaz kırıntılar) alanların dağılımı gösterilmektedir. Bu şekilde görüldüğü gibi doğuda Armutlu yarımadası ve Izmit körfezi ve orta kesimde 3 basen ve bunları ayıran dağda sağ iki sırt ve batıda Ganos yükselimi ve Saroz baseni belirgin olarak elde edilmiştir. Beyaz çizgiler batimetrik eşdeğerlikleri göstermektedir. Bu model bize sırtlarda KD-GB ızanımlı faylar olduğu takdirde bu deniz içi yapısının oluşacağı göstermektedir.

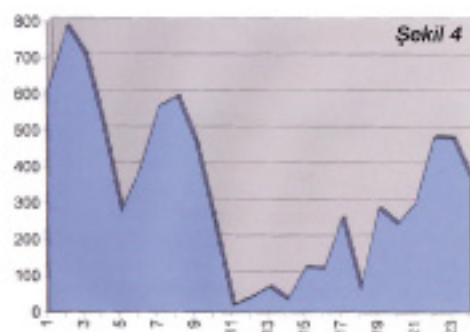


Şekil 3.B

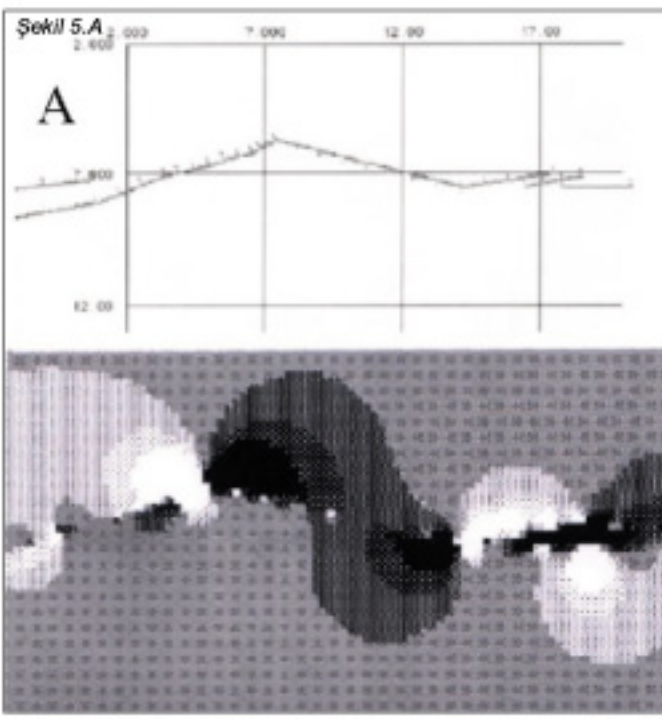
nı sıra pull-apart alanlarının ana faylar arasında rotasyonel hareketler yaptığı da paleomagnetik verilerle ışığında doğrulanmıştır. Bütün daha önceki çalışmalarla ve modellemelerde; genelde hep tek pull-apart yapı ele alınıp incelenmiştir. Bu çalışmada çok daha kompleks olan Marmara Denizi'nde gözlenen üç ayrı çukuruktan oluşan bir yapı modellenmektedir.

Marmara Denizinin Kuzey Yarısının Sınırlı Eleman Modellemesi

Sınırlı elemanlar iki boyutlu elastik modelleme olup Bilham ve King (1989) tarafından fay geometrisi ve kinematik ilişkilerin anlaşılması ve bu yapılarla ilgili morfolojik dağılımlarının elde edilmesinde çok yararlı sonuçlar vermiş bir "Macintosh" yazılımıdır. Bu modellemede fay geometrisi, kayma vektörü yönü ve sınırlardaki yer değiştirme miktarları verildiği takdirde, bu faylarla ilgili doğrultu atım miktarları ve stres dağılımları elde edilmektedir. Stres da-



Şekil 4. Şekil 3'te elde edilen model üzerinde fay segmentleri üzerindeki doğrultu atım oranları gösterilmektedir. Bu şekele açıkça anlaşıldığı gibi master faylar üzerinde doğrultu atım miktarı deniz içi sırtlanna göre çok daha fazla olup deniz içi faylarda genişleme (normal) bileşenin daha fazla olduğu ortaya çıkmaktadır. Bu bölgelerin pull-apart açılma alanına karşılık gelmesi nedeniyle uyumlu bir sonuç olarak elde edilmektedir. Bu nedenle deniz içi sırtları her ne kadar bölgesel kayma vektöründe sıkışma yapacak biçimde bir doğrultuya sahipse de bu fayların ikinci genişleme alanında yer almazı nedeniyle bu fayların tam tersine transtansiyonel bir kinematiğe sahip olduğu çok açık bir biçimde modelden elde edilmektedir.



Şekil 5. Marmara Denizi'nde tek fay (A) veya kuzeyden ve güneyden sınırlayan iki fay (B) geçmesi durumunda elde edilen stres veya morfolojik dağılım. Her iki şekildeki dağılım bugünün Marmara Denizi içi veya dış morfoloji ile uyusmamaktadır.

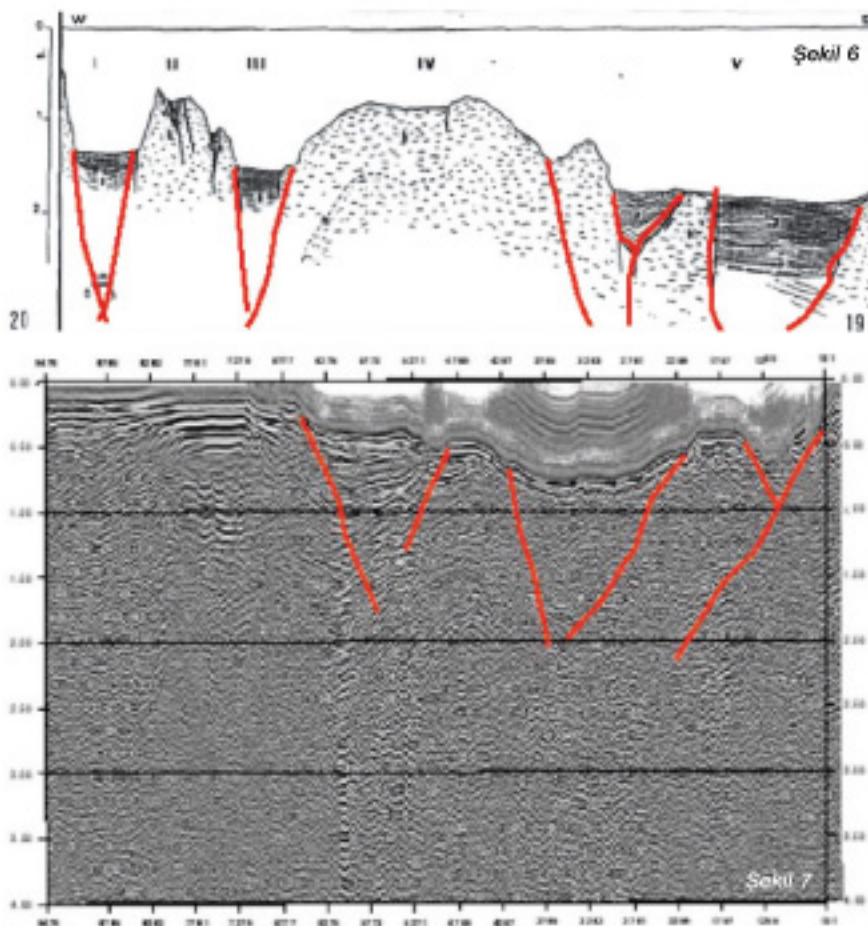
ğılımları sıkışan ve genişleyen alanlar dağılımı olarak ifade edilmekte olup jeomorfolojik olarak, alçalan ve yükselen alanlara karşılık gelmektedir. Bütün bu bilgiler ve faylar üz-

erindeki kinematik dağılımlar birçok tektonik yapının daha iyi anlaşılması açısından son derece önemlidir.

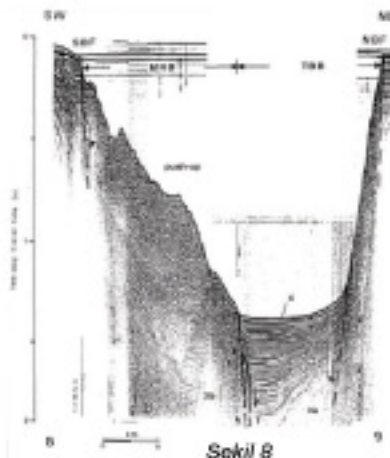
Şekil 3A'da Kuzey Anadolu Fayının kuzey kolunun İzmit körfezi

ve Saroz körfezi arasında kalan kışının segmentleri ve Marmara Denizi içi 200, 500 ve 1000 m batimetrisi gösterilmektedir. Bu modelde kullanılan kayma vektörünün GPS ölçümünden yararlanılarak bu alan için ortalaması alınmıştır. Şekil 3B ise modelleme sonucunda elde edilen stres dağılımlarını göstermektedir. Bu şekilde gösterilen siyah alanlar genişleyen alanları yani basenleri ve beyaz alanlar ise sıkışan yani yükselen alanları ifade etmektedir. Sırtlar birbirine paralel iki faya sınırlanmıştır.

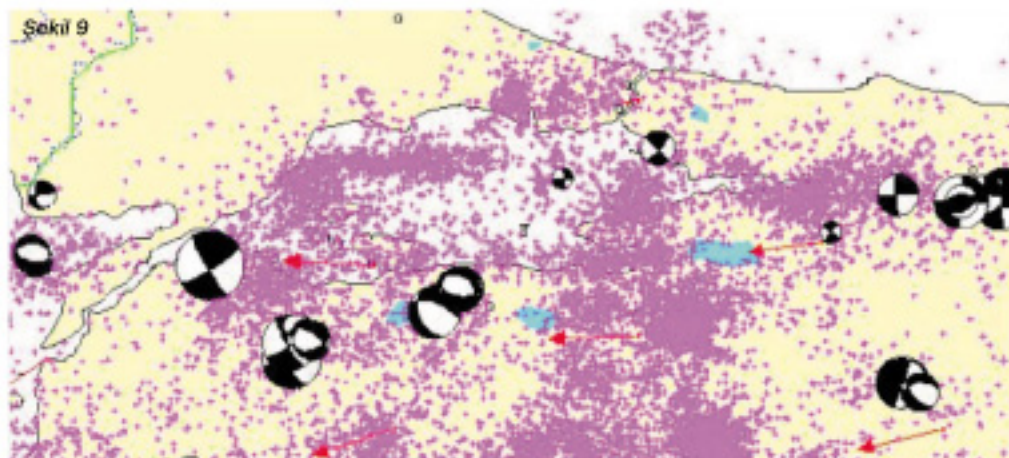
Modelleme sonuçları ile Marmara Denizi kuzey kesiminin morfolojisini karşılaştırıldığında, Ganos, Korudağ ve Armutlu yanmadası yükseltimleriyle (beyaz alanlar), İzmit ve Saroz körfezleri açıkça görülmektedir. Deniz içindeyse derin basenler ve daha az derin sırtlar geometrik olarak gerçeğe çok yakın bir biçimde elde edilmişdir. Bu modelden yine açıkça görüldüğü gibi İzmit körfezi ile Ganos arasındaki kısmına tamamen genişleme rejimi hakimdir. Sa-



Şekil 6. Marmara Denizi içinde sağa sismik yansımaya profili sırtların arasında kalan transversiyonel fayları göstermektedir (Ergin ve Özal, 1995 tan dağılımların alınmış). **Şekil 7.** Marmara Denizi orta sırtı oblik K-G uzanımı sismik yansımaya profili sırtın uzun eksenin boyunca genişlemesi olduğunu göstermektedir (Cedri et al., 1998 dan dağılımların alınmış).



Şekil 8.



Şekil 8. Marmara denizi içindeki pull-apart basenlerin en batıda yer alan Tekirdağ çukurluğunun dik normal fayı ve içinde yer alan genç çökeller gösterilmektedir (Wong vd., 1995). Şekil 9. Marmara Denizi ve çevresinin 1964-1994 yılları arasındaki deprem aktivitesi (ISC verileri). Kırmızı oklar GPS vektörlerini ve siyah beyaz toplar ise fay düzlemi çözümü göstermektedir (Straub ve Kahle, 1995).

dece iki lokal yükselim orta sırtta gözlenmektedir. Başka bir deyişle, Marmara Denizi içindeki faylar üzerinde herhangi bir sıkışma görülmemekte olup geniş bir alana yayılan bir genişleme hakimdir. Modelleme sonuçları batı sırtın biraz daha dönmesi halinde doğrultu-atımın sağdan sol yanala geçeceğini göstermektedir. Bu da batı sırtın ana faylarla oblik olması göz önüne alınırsa herhangi bir anomalii oluşturmamaktadır. Şekil 4'te ise, bu segmentler üzerindeki doğrultu atım oranları gösterilmektedir. Buna göre orta sırttaki doğrultu atım miktarının ana faylara göre çok daha az olduğu fakat buna karşılık normal bileşenin yüksek olduğu ortaya çıkmaktadır. Bu

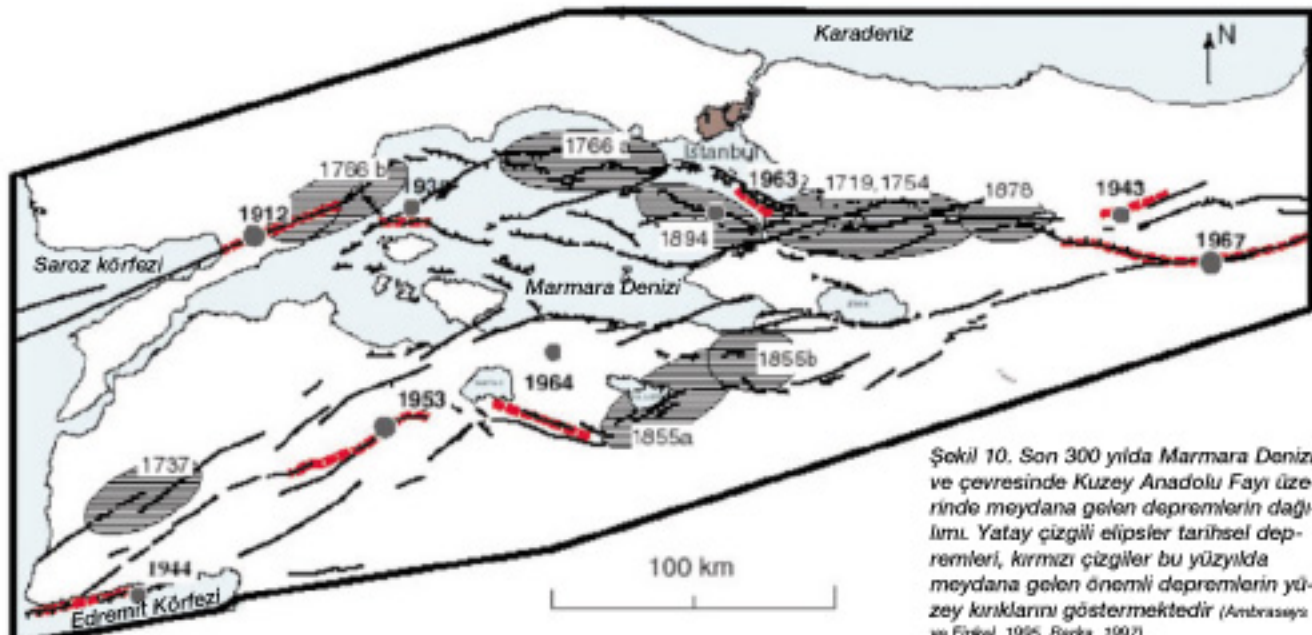
da bize sırtların transtansiyonel (doğrultu atım ve genişleme) özellikle olduğunu göstermektedir. Özetle, elde edilen bu model tek çözümlü olup basenler arasında yer alan sırtların ancak bu sırtlara paralel KD-GB uzanımlı iki fayla sınırlandırıldığından Marmara Denizi'nin kuzey yansına benzer üç basenli iki sırtlı bir morfolojik dağılım elde edilebilmektedir.

Şekil 5'te ise Marmara Denizi'ni geçen tek fay ve kuzeyden ve güneyden sınırlayan iki fay modeli ve bunların sonuçları gösterilmektedir. Bu sonuçlara bakıldığında, bu stres veya morfolojik şekillerin bu yörenin gölünüzdeki yüzey şekilleri ile uyum sağlamadığı anlaşılmaktadır. Bu iki

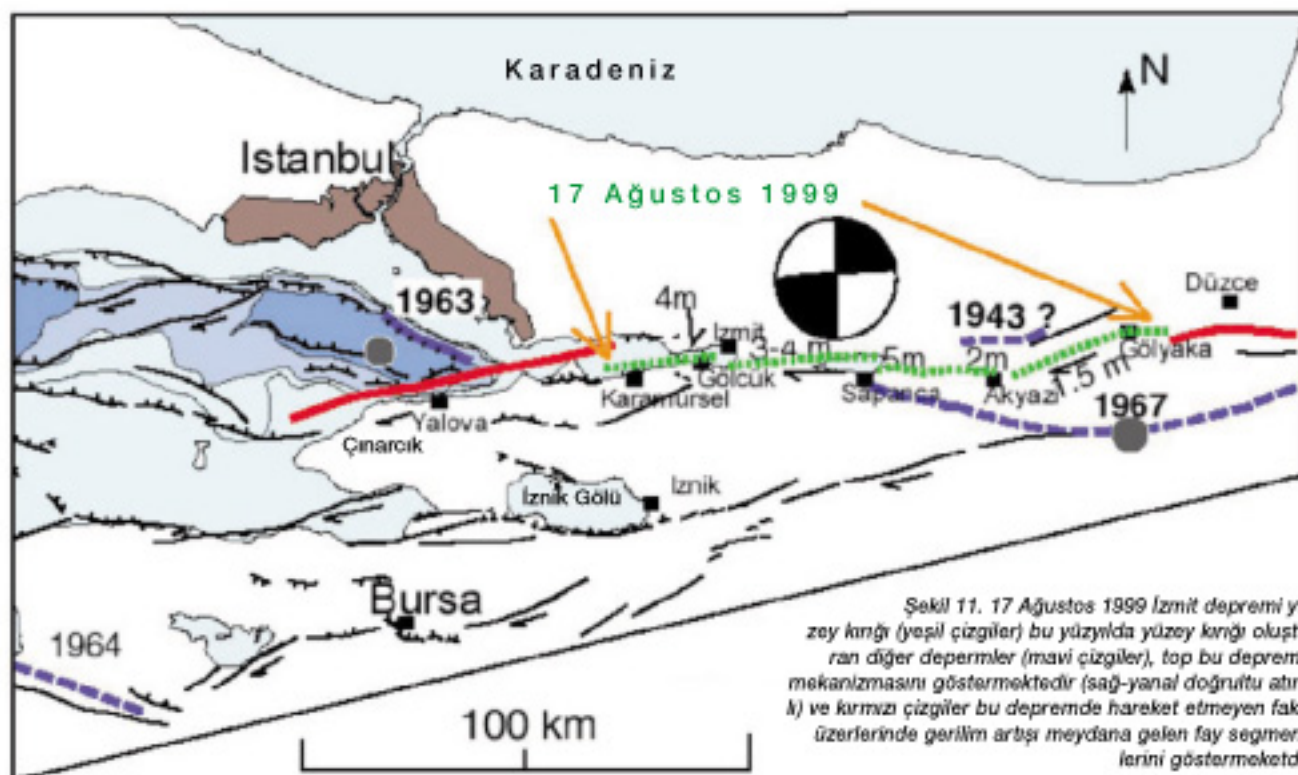
model de yukarıda gösterilen modelin doğruluğunu göstermektedir.

Tartışma ve Sonuçlar

Marmara Denizi içinde yapılmış olan sağlam ve derin sismik profillerle yukarıda elde edilen model sonuçlarını karşılaştırıldığında birbirleri ile uyum içinde oldukları anlaşılmaktadır. D-B uzanan sağlam sismik profil (Ergün ve Özel, 1995) sırt basen ilişkisi hakkında bilgi vermektedir (Şekil 5). Bu profilde batı sırt dar orta sırt ise geniş olarak görülmekte olup fay basen ilişkileri alttaki şekilde yorumlanmıştır. Şekil 6 ise orta sırt bo-



Şekil 10. Son 300 yılda Marmara Denizi ve çevresinde Kuzey Anadolu Fayı üzerinde meydana gelen depremlerin dağılımı. Yatay çizgili ellipsler tarihsel depremleri, kırmızı çizgiler bu yüzyılda meydana gelen önemli depremlerin yüzey kırıklarını göstermektedir (Ambraseys ve Finkel, 1995; Barka, 1997).



Şekil 11. 17 Ağustos 1999 İzmit depremi yüzey km'gi (yeşil çizgiler) bu yüzyılda yüzey km'gi oluşturan diğer depremler (mavi çizgiler), top bu depremin mekanizmasını göstermektedir (sağ-yanal doğrultu atımı) ve kırmızı çizgiler bu depremde hareket etmeyen fakat üzerinde gerilim artışı meydana gelen fay segmentlerini göstermektedir.

yunca alınan derin sismik profilde (Çetin vd., 1998) yine negatif bir çiçek yapısı gözlenmektedir. Bazı dilsiz tabakalar veya kıvrımlı yapılar aynı yapı içinde gelişmektedir. Şekil 7 ise orta basen içinden alınmış siğ profil, kenarları oldukça dik normal faylarla sınırlı bir basen göstermektedir. Bu da pull-apart'a karşılık gelmektedir. Bittin bu yapılar birarda değerlendirildiğinde, Şekil 8'de ortaya konulan blok diyagramdaki yapı karşımıza çıkmaktadır. Bu blok diyagramda sırtlar transtansiyonel bir yapıda olup genişleme özelliği taşırlar ve ana faylara paralel bir genişleme göstermektedirler. Çukurlar ise sırtlar arasında tamamen normal faylarla sınırlı genişleme yapısı gösterirler.

Sonuç olarak sırtlar üzerinde de genişleme bileşeni vardır, fakat ana faylara oranla daha az da olsa doğrultu atımı bileşene sahiptirler. Şekil 9, Marmara Denizi ve çevresinin 1964-1994 sismik aktivitesini göstermektedir. Bu şekilden görüldüğü gibi Marmara basenleri ve batı sırt strekeli mikro aktivite gösterirken orta sırt üzerinde aktivite daha az yoğundur. Aktivitenin bu ikincil genişleme yanı pull-apart alanında yoğun olması beklenen bir olaydır, ancak orta sırtta aktivitenin daha az olması, bu sırt

üzerinde doğrultu atımın batı sırtta göre daha fazla olmasından kaynaklanabilir

Bu verilere göre, (1) Marmara Denizi basenlerinin olduğu bölge pull-apart yapıyla ilgili pull-apart içi ikincil genişleme alanına karşılık gelmektedir ve sırtlar üzerinde transtansiyonel hareketler hakimdir, sırtlar üzerinde sıkışma yoktur. (2) Sırtlar üzerinde doğrultu atım bileşenleri ana faylara göre çok daha dırtılıktır. (3) Marmara Denizi ve sırtlarının pull-apart alandaki, saatin tersine dönmeye hareketi nedeni ile sırtların ilkSEL konumları ve kinematikleri ile gönümlüdeki konumları ve kinematikleri farklıdır.

Bu kinematik özellikleri deprem aktivitesi açısından değerlendirildiğimizde, modelleme sonuçlarında da açıkça görüldüğü gibi Marmara Denizi'ni baştan başa geçen bir fay olmadığı, sırtlara üzerindeki doğrultu atım bileşenli fayların deprem aktivitesi açısından önemli rol oynadığı ortaya çıkmaktadır. Son 300 yılda Marmara Denizi içinde meydana gelen depremlerin dağılımına bakıldığımızda da depremlerin farklı bilyüklüklerde Marmara Denizi'ni geçtiği söylenebilir (Şekil 10). 1509 gibi çok büyük depremler sırasında birden çok segmentin birbirini tetikleyerek

harekete geçirmesi sonucunda oluşmuş olabileceği ileri stitlebilir.

Bu bilgiler işigi altında 17 Ağustos 1999 depremi değerlendirdiğimizde bu deprem sırasında her ne kadar çok kesin olmasa da Yalova segmentinin kırılmadığı anlaşılmaktadır (Şekil 11). Bu durumda, bu depremin devamının bu fay parçasının kırılması ile gerçekleşmesi olasıdır. Ancak bu depremden önce özellikle Çınarcık çukuruğunda orta bityüklükte bir deprem meydana gelmesi de söz konusu olabilir. Bu açıdan bakıldığından artçı deprem aktivitesinin yakın olarak izlenmesi gerekmektedir.

Ayçut Barka

Prof. Dr., ITU, Arkeoloji ve Etnoloji Fakültesi, İstanbul, 34326
TÜRKİYE, MAM, İhracatçı Antropoloji Enstitüsü, Gözde, Kavaklı

Kaynaklar

- Ambrose, N. N. & C. Finol, (1995). Seismicity of Turkey and Adjacent Areas. *A Historical Review*, 1500-1900. Eren Yayıncılık ve Kitapçılık Ltd. 224 pp.
- Ambrose, N. N. (1988). Engineering seismology. *Erdölquellen: Erdöltechnik und Betriebstechnik Dynamik*, 17, 1-16.
- Barka, A. (1997). Neotectonics of the Marmara region. In "Active tectonics of NW Anatolia - The Marmara poly-project", ed. Schmidler und Pfeiffer, VDF ETH Zürich, 55-68.
- Barka, A. ve Korkmaz-Cüde, K. (1998). Strike-slip fault geometry in Turkey and its influence on surface fault activity. *Tectonics*, 7, 663-684.
- Bilser, R. & King, G. (1985). The morphology of Farallon-Spacula faults: Examples from the San Andreas fault, California. *J. Geophys. Res.*, 90, 18294-18316.
- Çınar, S., İnce, C., Barka, A., Barçapa, A., Karaoğlu, E. (1998). Marmara Denizi okruk pasını profili çekenlere danışma. Özet, Deneş, Jeoloji, Türkiye Deniz İncelemeleri, Workshop IV, 14-15 Mayıs, 12.
- Erçin, M. ve Öztürk, E. (1995). Structural relationship between the sea of Marmara basin and the North Anatolian fault. *Tectonics*, 7, 278-288.
- Foxall, G. and Küller, H., 1991. Active coastal deformation in the Marmara Sea region, NW Anatolia, inferred from GPS measurements. *Geophysical Research Letters*, v. 18, no. 18, 1253-1256.